

رسی - ف دیازیون - انوفتوکاتالیستی دی اکسید تیتانیم- اکسید روی.

زهرا دربندی^۱ (M.Sc Student)، محمدعلی ززلوی^{۲*} (Ph.D)، محمد شکرزاده^۳ (Ph.D)، نورالدین موسوی نسب^۴ (Ph.D)، احسان رستمعلی^۵ (M.Sc)

- ۱- گروه مهندسی بهداشت محیط، کمیته تحقیقات دانشجویی، دانشکده بهداشت، دانشگاه علوم پزشکی مازندران، ساری، ایران
- ۲- گروه مهندسی بهداشت محیط، مرکز تحقیقات علوم بهداشتی، دانشکده بهداشت، دانشگاه علوم پزشکی مازندران، ساری، ایران
- ۳- مرکز تحقیقات علوم دارویی و گروه سم‌شناسی، فارماکولوژی، دانشکده داروسازی، دانشگاه علوم پزشکی مازندران، ساری، ایران
- ۴- گروه آمار زیستی، دانشکده بهداشت، دانشگاه علوم پزشکی مازندران، ساری، ایران
- ۵- گروه مهندسی بهداشت محیط، دانشکده بهداشت، دانشگاه علوم پزشکی مازندران، ساری، ایران

چکیده

و هدف: دیازیون یکی از روش‌های تجزیه با انتخابیت مبارزه با انواع آفات کشاورزی؛ اقلین بی‌تاری که مقاوم به تجزیه بی‌اوزیک است، امت کاربرد وسیع: گرانی‌حای روت ورود آ به محیط زیر مت لذا هدف از این بررسی تجزیه دیازیون نانوفتوکاتالیستی

$ZnO-TiO_2$ ور اشعه UV است.

روش: از نوع تجربی- آزمایشگاهی، برای تعیین خصوصیت آن، آزمون TEM انجام شد. تعداد نمونه ش تاگوچی تعیین نموده شرایط مختلف pH ۰-۷ دوز نانو غلظت دیازیون نی اشعه UV ۱-۴ ف. غلظت دیازیون HPLC آزمایشگری تجزیه تحاصل از نرم‌افزار Minitab ۱۶ نماده از

افتنه‌ها: مترين شرایط راي دیازیون pH=۷ کاتالیست ۵/۰ گرم در لیتر، مانند قیمه دیازیون ۱۵ میلی گرم دلیتر افزایش افتاد. با افزایش اکنش، میزان دیازیون افزایش می‌یابد افزایش و غلظت دیازیون میان کاهش می‌یابد بیشترین میان دیازیون ۰۹۵ بد بود. بجهه ری: ترکیب کاتالیست یک جدید هدف دیازیون است. نانوفتوکاتالیستی $ZnO-TiO_2$ تاثیر بر تجزیه تحریب دیازیون ارد.

کلیدی: دیازیون، کاتالیست، دی اکسید تیتانیم- اکسید روی، اپوزیت، ذره

متوسط می‌باشد [۲]. این سم موجب مهار فعالیت آنزیم استیل کولین استراز می‌شود و احتمالاً موجب آسیب سلول‌های جنسی و دستگاه تولید مثل می‌گردد [۱]. از طریق نشت مواد شیمیایی، فاضلاب‌های صنعتی و رواناب‌های کشاورزی وارد

مقدمه

دیازینون یکی از پرکاربردترین سموم ارگانوفسفره است که برای کنترل آفات کشاورزی مورد استفاده قرار می‌گیرد [۱]. دیازینون بر اساس طبقه‌بندی WHO جزء حشره‌کش خطرناک

حذف ۷۱ درصدی توسط نانوذره TiO_2 [۸]؛ حذف ۱۰۰ درصدی رنگ آزو دای با کامپوزیت ZnO-TiO_2 [۹]؛ حذف کامل سوم دیکلروس، منوکروتفوس، پاراتیون و فورات با کامپوزیت $\text{TiO}_2-\text{SiO}_2/\text{UV}$ را نام برد [۱۰]. به طور کلی طیف کابرد نانوذرات و نانوکامپوزیت وسیع است نظیر حذف نیترات با نانوذرات اکسید آهن در حضور اشعه UV [۱۱]؛ حذف ۴-رودامین با نانوکامپوزیت $\text{ZnO-TiO}_2/\text{UV}$ [۱۲]؛ حذف ۱۳-کلروفل در حضور نورخورشید با کاتالیست اکسید روی [۱۳]؛ حذف فورفوال در حضور نور خورشید و اشعه ماوراء بخش با نانوذره دی اکسید تیتانیوم [۱۴]؛ حذف سورفاکтанت آنیونی سدیم دودسیل سولفات با فرآیند فتوکاتالیستی دی اکسید تیتانیوم [۱۵]؛ گندزادایی آب با فرآیند فتوکاتالیستی دی اکسید تیتانیوم [۱۶]؛ را می‌توان ذکر نمود. مطالعات مذکور، کارایی بالای روش کامپوزیتی در مقایسه با روش کاتالیست تنها را تایید کرده است. روش ترکیب دو کاتالیست با یک دیگر یکی از روش‌های جدید در مطالعات تصفیه آب می‌باشد و از میان همه کاتالیست‌ها، دو کاتالیست دی اکسید تیتانیوم و اکسید روی به علت در دسترس بودن و عدم سمیت بیشترین علاوه‌مندی را در بین دیگر کاتالیست‌ها را به خود اختصاص داده است. لذا مطالعه حاضر با هدف بررسی کارایی روش $\text{ZnO-TiO}_2/\text{UV}$ در حذف دیازینون با بررسی تاثیر زمان تماس، دوز کاتالیست، غلظت سم و pH از محیط‌های آبی است.

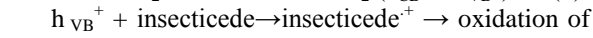
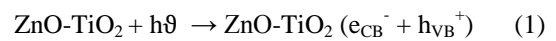
مواد و روش‌ها

نمایه ات راکتور این تحقیق در مقیاس آزمایشگاهی انجام شده است. شکل ۱ شماتیک راکتور را نشان می‌دهد. راکتور مورد استفاده شامل استوانه‌ای شیشه‌ای با حجم ۲ لیتر، ارتفاع ۵۰ سانتی‌متر و قطر ۵۰ میلی‌متر بود. از یک همزن مغناطیسی به منظور همگن کردن محتویات راکتور استفاده شد. لامپ UVC فشار ضعیف جیوه با توان ۶ وات و طول موج ۲۵۴ نانومتر با طول مفید ۳۵۱ میلی‌متر و قطر ۲۵/۵ میلی‌متر ساخت شرکت Osram-HNS، که در درون یک محفظه

منابع آب سطحی و زیرزمینی می‌شود [۳]. حداقل مقدار آن در آب آشامیدنی ۲۰ میکروگرم بر لیتر توصیه شده است [۴]. دیازینون در غلظت ۳۵۰ نانوگرم برای موجودات آبزی سمی است [۲]. بنابراین حذف آن از پساب و آب ضروری است. فرآیندهای نظیر جذب، انقاد، تهشیینی، صاف‌سازی و جمله دیازینون کاربرد دارند [۵،۳]. یکی از روش‌هایی که قادر به اکسیداسیون مواد آلی مقاوم و تغییر ماهیت آن هاست، روش‌های فتوکاتالیستی است. این روش‌ها بر اساس تابش اشعه ماوراء بخش به مواد نیمه‌هادی به عنوان کاتالیست در تجزیه آلاینده‌ها مورد استفاده قرار می‌گیرد. نیمه‌هادی‌ها در اثر تابش اشعه، تحریک شده و منجر به انتقال الکترون به لایه‌های سطحی مولکول و تولید الکترون-حفره می‌شود. حفره حاصل دارای خاصیت اکسیدکنندگی قوی و الکترون احیاء‌کننده خوبی است و با تولید رادیکال هیدروکسیل، سبب تجزیه مولکول‌های آلی آلاینده می‌شود [۶]. معمولاً کاربرد اکسید روی و دی اکسید تیتانیوم به دلیل در دسترس بودن بیشتر است [۳].

روش دیگر در فرآیند فتوکاتالیستی، استفاده از کاتالیست کامپوزیتی است. این فرآیند ترکیب دو کاتالیست با یکدیگر است که موجب ایجاد اثر سینزrیستی و افزایش تجزیه آلاینده می‌شود [۷]. کارایی فرآیند فتوکاتالیست کامپوزیتی نسبت به فرآیند فتوکاتالیست تنها (TiO_2 و ZNO) بیشتر است که دلیل آن ناشی از گسترش دامنه جذب نور و انتقال موثر بار، می‌باشد [۳]. وقتی کامپوزیت ZnO-TiO_2 در معرض اشعه UV قرار می‌گیرد الکترون‌ها برانگیخته شده و بین حفره‌ها

قرار می‌گیرند:



$\text{OH} \cdot + \text{insecticide} \rightarrow \text{degradation of the insecticides}$ (6)

مطالعات متعددی در این زمینه انجام شده است. از جمله

حذف ۱۰۰ درصدی دیازینون با کامپوزیت ZnO-TiO_2 [۳]

۳-۲-۱-۱ سنتز و تبیت $ZnO-TiO_2$ ابتدا محلول ۰/۱

مولار کلرید روی با حل کردن کلرید روی در آب مقطر به دست آمد. نانوذرات دی اکسید تیتانیوم به مدت ۳ ساعت در آون ۱۰۳ درجه سانتی گراد قرار گرفته و سپس به نسبت وزنی ۱:۱ با کلرید روی مخلوط شدند. سپس محلول هیدروکسید سدیم ۰/۲ مولار قطره قطره تا رسیدن pH به ۱۲ به آن اضافه شد محلول ژلاتینی تشکیل شده کامپوزیت $ZnO-TiO_2$ بود. این محلول به مدت ۷ ساعت هم زده سپس با سرعت ۴۰۰ rpm به مدت ۲ دقیقه سانتریفیوژ شد و در نهایت با آب مقطر شسته و در آون ۱۰۰ درجه سانتی گراد به مدت ۳ ساعت خشک شد [۳]. مشخصات نانوکامپوزیت با استفاده از TEM تعیین شد.

۳-۲-۱-۲ احل آزمایش

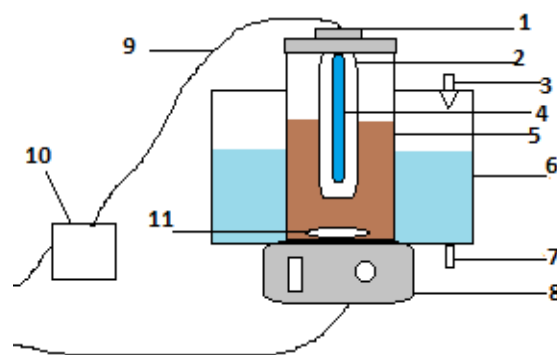
الف. ش تهیه محلول های سنیتیک از دیازینون خالص ۹۹ درصد برای ساخت محلول استوک با غلظت ۱۰۰۰ میلی گرم در لیتر استفاده شد و از آن دیازینون در غلظت های ۱۵، ۳۰، ۵۰، ۱۰۰ میلی گرم بر لیتر) تهیه شد. برای تنظیم pH در محدوده (۳، ۵، ۷ و ۹) از هیدروکسید سدیم و اسید سولفوریک ۱، ۰ مولار استفاده شد. میزان نانوذره مصرفی ۰/۲، ۰/۵، ۱ و ۰/۲ گرم بر لیتر و زمان واکنش (۲، ۵، ۱۵ و ۳۰ دقیقه) بود.

ب. انجام آزمایشات برای انجام آزمایشات، مقدار مشخصی از نانوذره (۰/۰۰ تا ۰/۲) گرم در لیتر به نمونه با غلظت و pH مشخص اضافه شد پس از گذشت مدت زمان مورد نظر (۲ تا ۳۰ دقیقه) نمونه ها به مدت ۱۰ دقیقه در دور ۱۴۰۰ rpm سانتریفیوژ شدند. سپس با ثابت نگهداشتن مقدار نانوذره، تاثیر سایر متغیرها نظیر غلظت و pH در آزمایشات بعدی تعیین شدند. بعد از سانتریفیوژ، نمونه ها با استفاده از صافی غشایی ۰/۴۵ میکرومتر صاف شدند. نمونه های صاف شده جهت تعیین غلظت دیازینون باقی مانده آنالیز شدند.

ج. ۰۰۰، اندازه گیری دیازینون غلظت دیازینون توسط دستگاه HPLC با فاز متحرک استونیتریل و آب (۷۵:۲۵)،

شیشه ای قرار داشت به عنوان منبع نور استفاده شد. طبق ۲۵۴ گزارش شرکت اسرام، شدت اشعه فرابنفش در طول موج ۸/۸ نانومتر /۰۰۰ وات بر متر مربع می باشد. جهت جلوگیری از افزایش دما حین کار، از یک پمپ آب برای چرخش و حرکت جریان آب در اطراف بدنه راکتور استفاده گردید.

شکل ۱. پایلوت راکتور مورد استفاده. ۱- درب راکتور-۲- محافظ



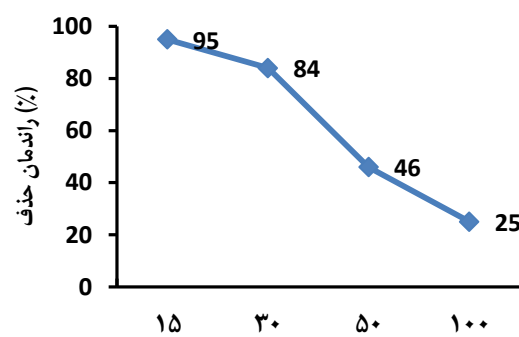
-۳- منفذ ورود آب -۴- لامپ UVC -۵- راکتور شیشه ای -۶- مبرد آبی -۷- منفذ خروج آب -۸- همزن مغناطیسی -۹- سیم های اتصال جریان -۱۰- ترانس لامپ -۱۱- مگنت

۰۰۰ مصرف دی اکسید تیتانیوم مورد استفاده با قطر متوسط ۲۱ نانومتر از شرکت دگوسا (آلمان) خریداری شد. کلرید روی (۹۹ درصد)، هیدروکسید سدیم، اسید سولفوریک، استونیتریل با خلوص بالا همگی از شرکت مرک خریداری گردید. سم دیازینون با خلوص ۹۹ درصد از شرکت افسار کشور آلمان خریداری گردید. جرم مولی آن $\frac{304}{3}$ گرم بر مول است.

طراحی آزمایشات مطابق جدول ۱ چهار عامل موثر بر راندمان در چهار سطح مورد بررسی قرار گرفت. برای تعیین شرایط بهینه تاثیر یک عامل، مقدار سه عامل دیگر ثابت نگه داشته شد.

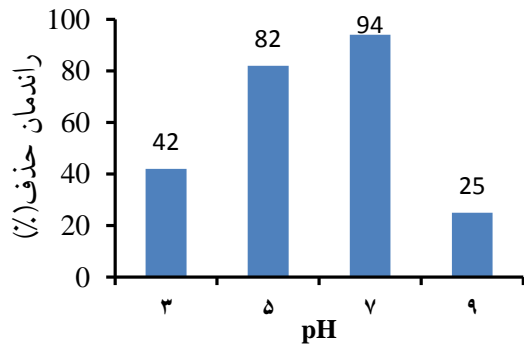
جدول ۱. عوامل و سطوح در نظر گرفته شده برای طراحی آزمایش ها

عامل	سطح ۱	سطح ۲	سطح ۳	سطح ۴
غلظت سم (میلیگرم بر لیتر)	۱۵	۳۰	۵۰	۱۰۰
pH	۳	۵	۷	۹
دوز نانوذره (گرم بر لیتر)	۰.۲	۰.۵	۱	۲
زمان (دقیقه)	۲	۵	۱۵	۳۰



شکل ۲. نمودار تاثیر غلظت دیازینون بر راندمان حذف
($t=30\text{ min}$, $\text{pH}=7$, nano ZnO-TiO₂ = 0.5 g/L)

شکل ۴ تاثیر pH بر کارایی فرآیند را نشان می‌دهد.
همان‌طور که در این شکل دیده می‌شود در $\text{pH}=7$ بیشترین
میزان و در $\text{pH}=9$ کمترین میزان حذف مشاهده می‌شود.



شکل ۴. نمودار تاثیر pH بر راندمان حذف
($t=30\text{min}$, Diaz=15 mg/L, nano ZnO-TiO₂ = 0.5 g/L)

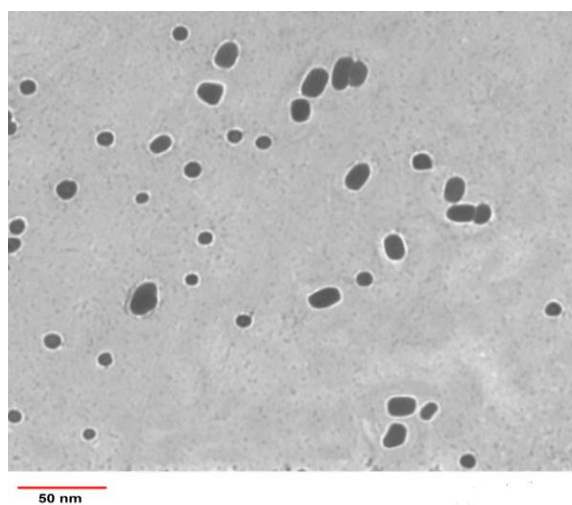
تاثیر pH: ناکامپوزیت شکل ۵ تاثیر دوز نانوکامپوزیت
را بر کارایی فرایند نشان می‌دهد و همان‌طور که در این شکل
بیان شده است بیشترین میزان حذف در دوز ۰.۵ گرم بر لیتر و
کمترین میزان حذف در دوز ۲ گرم بر لیتر مشاهده شد. زیرا
تاثیر نور ماوراءالنفس با این افزایش، کاهش و در نتیجه بر
میزان حذف اثر می‌گذارد.

تاثیر: واکنش شکل ۶ تاثیر زمان واکنش بر کارایی
فرایند را نشان می‌دهد و همان‌طور که مشاهده می‌شود با
افزایش زمان واکنش میزان حذف افزایش می‌یابد. سیر
صعودی میزان حذف با افزایش زمان در شکل ۶ نشان داده
شده است.

ستون فاز معکوس C₁₈,ODS با دتکتور UV در طول موج
۲۴۷ نانومتر و جریان ۱ میلی لیتر در دقیقه انجام گرفت.

نتایج

خصات: ا. کامپوزیت برای بررسی اندازه‌ی دانه
(ذرات بلوری) در کامپوزیت دی اکسید تیتانیوم-اکسید روی
از آزمون TEM استفاده شد. در شکل ۲، زمینه روشن فاز بی
شکل و نقطه‌های تیره فازهای نانوبلور را نشان می‌دهد. اندازه
نانوذرات در کامپوزیت دی اکسید تیتانیوم-اکسید روی در
حدوده ۱۰ تا ۲۵ نانومتر قرار دارد.

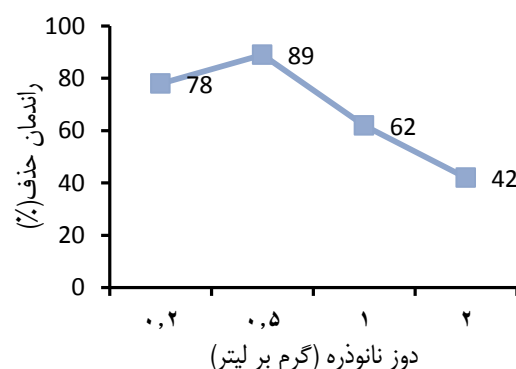


شکل ۲. تصویر TEM

تاثیر خاکستر د-ازین: شکل (۳) تاثیر غلظت دیازینون بر
میزان تجزیه و کارایی فرآیند را نشان می‌دهد، همان‌طور که در
این شکل دیده می‌شود هر چه بر غلظت سه افزوده می‌شود
درصد حذف دیازینون کاهش می‌یابد. این کاهش به صورتی
است که در غلظت دیازینون ۱۰۰ میلی گرم بر لیتر کمترین
حذف و در غلظت ۱۵ میلی گرم در لیتر بیشترین حذف اتفاق
می‌افتد.

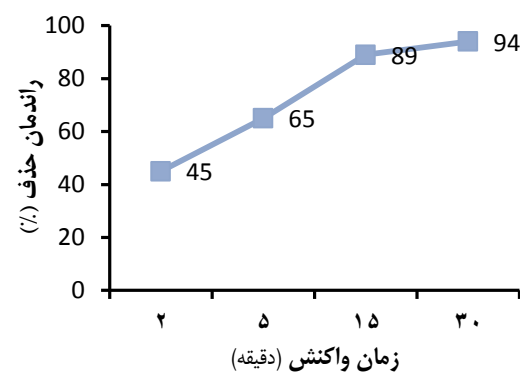
[۱۸، ۱۷، ۳، ۲]. تحقیق Matouq و همکاران نشان داد که با افزایش غلظت دیازینون میزان حذف شروع به کاهش می‌نماید. به طوری که میزان حذف در غلظت ۱۲۰۰ میلی‌گرم از ۸۰ درصد به ۳۰ درصد در غلظت ۱۸۰۰ میلی‌گرم بر لیتر کاهش یافت [۱۹]. هر چند غلظت دوز سه با مطالعه حاضر متفاوت است هم روند حذف مشابه می‌باشد.

تأثیر pH pH را می‌توان موثرترین پارامتر تاثیرگذار در فرایند فتوکاتالیستی دانست. به طور کلی اثر pH بر تخریب مواد آلی به کمک اکسیدهای نیمه‌رسانا در ایجاد تعادل اسید و باز حاکم بر سطح اکسیدهای فلزی در آب بوده است. طبق شکل ۴، بالاترین راندمان حذف در pH=۷ مشاهده شد. دلیل آن تبدیل O²⁻ در pH اسیدی به Zn⁺² می‌باشد که منجر به از دست دادن کارابی نانوذرات می‌شود و در محیط قلیایی سطح نانوذره دارای بار منفی شده که این عامل به نوعی خود منجر به کاهش بازده آن می‌شود [۲۰]. بنابراین بهترین pH برای حذف دیازینون pH خنثی می‌باشد. pH خورنده‌گی در کامپوزیت ZnO-TiO₂ حدوداً برابر با ۶ است. این pH در ZnO-TiO₂ ۶/۵ و در TiO₂ برابر ۹ است. ثابت تفکیک اسیدی دیازینون ۲/۶ شناخته شده است. فعالیت مختلف فتوکاتالیستی در pH های مختلف را می‌توان بر اساس تعامل مختلف الکترواستاتیکی بین سطح فتوکاتالیست و دیازینون توضیح داد. از آنجایی که ثابت تفکیک اسیدی در دیازینون ۲/۶ می‌باشد در pH بالای ۲/۶ دارای بار منفی می‌شود. در حالی که در pH زیر ۶ کامپوزیت ZnO-TiO₂ دارای بار مثبت می‌شود. پس همان‌طور که انتظار می‌رود شرایط مطلوب را می‌توان در محدوده pH بین ثابت تفکیک اسیدی دیازینون و pH خورنده‌گی ZnO-TiO₂ جستجو کرد که در آن بار مثبت ZnO-TiO₂ و بار منفی دیازینون یک‌دیگر را جذب می‌کنند. در pH بالا بار کامپوزیت و دیازینون هر دو منفی شده و بنابراین دافعه بین دیازینون و کامپوزیت ZnO-TiO₂ منجر به کاهش جذب سه بر روی کامپوزیت و کاهش راندمان فتوکاتالیستی می‌گردد [۳]. در مطالعه دانشور و همکاران pH بالاتر از ۵/۲ تا محدوده خنثی منجر به افزایش حذف دیازینون و بعد از آن



شکل ۵. نمودار تاثیر دوز نانوذره بر راندمان حذف

(t=30 min, Diaz=15 mg/L, pH=7)



شکل ۶. نمودار تاثیر زمان واکنش بر راندمان حذف

(nano ZnO-TiO₂ = 0.5 g/L, Diaz=15 mg/L, pH=7)

بحث و نتیجه‌گیری

تأثیر غلظت دیازینون نتایج به دست آمده نشان داد تاثیر رغلظت اولیه دیازینون، بر میزان حذف، یکی از جنبه‌های مهم، در فرایند نانوفتوکاتالیستی در این مطالعه بود. طبق شکل ۳، بالاترین میزان حذف در غلظت ۱۵ میلی‌گرم بر لیتر اتفاق افتاده است. این میزان با افزایش غلظت دیازینون رو به کاهش داشته و نهایتاً در غلظت ۱۰۰ میلی‌گرم بر لیتر به کمترین میزان خود رسیده است. با افزایش غلظت دیازینون، مواد آلی بیشتری بر روی سطح نانو کامپوزیت ZnO-TiO₂ جذب می‌شوند بنابراین محلهای فعال کمتری برای جذب یون کاهش هیدروکسیل وجود خواهد داشت و همین امر منجر به کاهش تولید رادیکال‌های هیدروکسیل می‌شود. علاوه بر این، با افزایش غلظت دیازینون، فوتون قبل از رسیدن به سطح کاتالیست شکسته می‌شود و جذب فوتون توسط کاتالیست کاهش می‌یابد و متعاقب آن درصد تجزیه کاهش می‌یابد

نسبت به زمانی می‌گردد که به صورت جدگانه استفاده می‌شوند.

تشکر و قدردانی

این مقاله حاصل بخشی از پایان‌نامه کارشناسی ارشد مهندسی بهداشت محیط خانم زهراء دریندی است که در معاونت تحقیقات و فناوری دانشگاه علوم پزشکی مازندران تحت شماره ۲۰۰۴ ثبت شده است.

منابع

- [1] Fattahy E, Jorsaraei S, Parivar K, Moghaddamnia A. Influence of diazinon on spermatogenesis in mice. Koomesh 2007; 9: 75-82. (Persian).
- [2] Daneshvar N, Aber S, Dorraji MS, Khataee A, Rasoulifard M. Photocatalytic degradation of the insecticide diazinon in the presence of prepared nanocrystalline ZnO powders under irradiation of UV-C light. Sep Purific Technol 2007; 58: 91-98. (Persian).
- [3] Jonidi-Jafari A, Shirzad-Siboni M, Yang JK, Naimi-Joubani M, Farrokhi M. Photocatalytic degradation of diazinon with illuminated ZnO-TiO₂ composite. J Taiwan Inst Chem Engine 2015; 50: 100-107. (Persian).
- [4] Moussavi G, Hossaini H, Jafari SJ, Farokhi M. Comparing the efficacy of UVC, UVC/ZnO and VUV processes for oxidation of organophosphate pesticides in water. J Photochem Photobiol Chem 2014; 290: 86-93. (Persian).
- [5] Chong MN, Jin B, Chow CW, Saint C. Recent developments in photocatalytic water treatment technology: a review. Water Res 2010; 44: 2997-3027.
- [6] Chiang YJ, Lin CC. Photocatalytic decolorization of methylene blue in aqueous solutions using coupled ZnO/SnO₂ photocatalysts. Powder Technol 2013; 246: 137-143.
- [7] Barreca D, Comini E, Ferrucci AP, Gasparotto A, Maccato C, Maragno C, et al. First example of ZnO-TiO₂ nanocomposites by chemical vapor deposition: structure, morphology, composition, and gas sensing performances. Chem Mater 2007; 19: 5642-5649.
- [8] Kalantary RR, Shahamat YD, Farzadkia M, Esrafili A, Asgharnia H. Heterogeneous photocatalytic degradation of diazinon in water using nano-TiO₂: modeling and intermediates. Eur J Experimen Biol 2014; 4: 186-194.
- [9] William IV L, Kostedt I, Ismail AA, Mazzyk DW. Impact of heat treatment and composition of ZnO-TiO₂ nanoparticles for photocatalytic oxidation of an azo dye. Ind Engine Chem Res 2008; 47: 1483-1487.
- [10] Shifu C, Gengyu C. Photocatalytic degradation of organophosphorus pesticides using floating photocatalyst TiO₂-SiO₂/beads by sunlight. Solar Energy 2005; 79: 1-9.
- [11] Zazouli MA, Dianati TR, Safarpour M. Nitrate removal from water by nano zero valent Iron in the presence and absence of ultraviolet light. J Mazandaran Univ Med Sci 2014; 24: 150-161. (Persian).
- [12] Pei CC, Leung WW. Photocatalytic degradation of Rhodamine B by TiO₂/ZnO nanofibers under visible-light irradiation. Sep Purific Technol 2013; 114: 108-116.

افزایش pH منجر به کاهش حذف دیازینون شده است [۲]. که مشابه یافته‌های تحقیق حاضر می‌باشد.

تاثیر : آ. کامپوزیت طبق شکل (۵)، با افزایش غلظت نانوذره تا ۰/۵ گرم در لیتر کارایی فرآیند افزایش یافته و پس از آن کاهش می‌یابد. دوز کاتالیست، تخریب دیازینون را زیاد تحت تاثیر قرار نمی‌دهد. دلیل این واقعیت را می‌توان این‌گونه شرح داد: مجموع سطوح فعال با افزایش دوز کاتالیست افزایش می‌باید. متعاقباً با افزایش کدورت سوسپانسیون، نفوذ اشعه UV کاهش می‌باید در نتیجه پراکندگی نور افزایش و فعالیت نوری کاهش می‌یابد. علاوه بر این در دوز بالای کاتالیست، نگهداری سوسپانسیون به حالت تعليق به خاطر تراکم ذرات دشوار است همین امر منجر به کاهش تعداد سایت‌های فعال می‌گردد [۲۱، ۲]. مطالعه بر روی حذف پارانیتروفنل به کمک اکسید روی نشان دادند که با افزایش دوز نانوذره تا ۰/۴ گرم بر لیتر میزان حذف افزایش و با افزایش بیشتر نانوذره کارایی حذف کاهش می‌باید علت این امر افزایش کدورت محلول است که منجر به تفرق اشعه UV و کاهش خاصیت فعال سازی نوری نانوذره می‌باشد [۲۲].

تاثیر : مان همان‌طور که در شکل (۶) مشخص است، افزایش زمان پرتودهی منجر به افزایش کارایی فرآیند می‌شود این امر به دلیل افزایش میزان رادیکال‌های هیدروکسید است که متعاقب افزایش الکترون‌ها و حفره‌ها در نانوذره اتفاق می‌افتد و منجر به حذف بیشتر دیازینون شده است [۲۱]. یافته مطالعات دادبان و همکاران در حذف دیازینون با TiO₂ [۸] و زژولی و همکاران در حذف فورفورال در حضور نانوذره TiO₂ همسو با نتایج تحقیق حاظر می‌باشد. در حذف فوتوكاتالیستی فورفورال از آب نیز نشان داد با افزایش زمان ماند میزان حذف فورفورال افزایش داشته است [۱۴].

نتایج این تحقیق نشان می‌دهد فرایند نانو فتوکاتالیستی با در حذف دیازینون در مدت زمان کم و شرایط ZnO-TiO₂ خنثی دارای کارایی بسیار بالایی می‌باشد. استفاده از نانو کامپوزیت دی اکسید تیتانیوم و اکسید روی یک روش جدید در حذف آلاینده‌هاست که منجر به افزایش کارایی نانوذره

Photocatalytic process with titanium dioxide Nanoparticles. J Mazandaran Univ Med Sci 2015; 25: 227-238. (Persian).

[17] Chakrabarti S, Dutta BK. Photocatalytic degradation of model textile dyes in wastewater using ZnO as semiconductor catalyst. J Hazard Mater 2004; 112: 269-278.

[18] Shankar MV, Anandan S, Venkatachalam N, Arabindoo B, Murugesan V. Novel thin- film reactor for photocatalytic degradation of pesticides in an aqueous solution. J Chem Technol Biotechnol 2004; 79: 1279-1285.

[19] Matouq MA, Al-Anber ZA, Tagawa T, Aljbour S, Al-Shannag M. Degradation of dissolved diazinon pesticide in water using the high frequency of ultrasound wave. Ultrason Sonochem 2008; 15: 869-874.

[13] Dianati-Tilaki RA, Zazoli M, Yazdani J, Alamgholilu M, Rostamali E. Degradation of 4-chlorophenol by sunlight using catalyst of zinc oxide. J Mazandaran Univ Med Sci 2014; 23: 195-201. (Persian).

[14] Zazouli MA, Ebrahimzadeh MA, Yazdani Charati J, Shiralizadeh Dezfoli A, Rostamali E, Veisi F. Effect of sunlight and ultraviolet radiation in the titanium dioxide (TiO_2) nanoparticles for removal of furfural from water. J Mazandaran Univ Med Sci 2013; 23: 125-138. (Persian).

[15] Malakootian M, Yaghmaeian K, Momenzadeh R. Efficiency of titanium dioxide photocatalytic activity in removing anionic surfactant of sodium dodecyl sulfate from waste water. Koomesh 2015; 16: Pe648-Pe654. (Persian).

[16] Zazouli MA, Ahanjan M, Kor Y, Eslamifar M, Hosseini M, Yousefi M. Water disinfection using

Photocatalytic degradation of diazinon using ZnO/TiO₂ nano-photocatalysts

Zahra Darbandi (M.Sc Student)¹, Mohammad Ali Zazouli (Ph.D) ^{2*}, Mohammad Shokrzadeh (Ph.D)³, Noureddin Mousavinasab (Ph.D)⁴, Ehsan Rostamali (M.Sc)⁵

1 - Student Research Committee, Faculty of Health, Mazandaran University of Medical Sciences, Sari, Iran

2 - Dept. of Environmental Health Engineering, Health Sciences Research Center, Faculty of Health, Mazandaran University of Medical Sciences, Sari, Iran

3 - Dept. of Toxicology, Faculty of Pharmacy, Mazandaran University of Medical Sciences, Sari, Iran

4 - Dept. of Biostatics, Faculty of Health, Mazandaran University of Medical Sciences, Sari, Iran

5 - Faculty of Health, Mazandaran University of Medical Sciences, Sari, Iran

(Received: 16 Sep 2016; Accepted: 29 Nov 2016)

Introduction: Diazinon is an organophosphate pesticides that widely used for agricultural pests and vectors. Diazinon resists to biodegradation so there is major concern about it. The aim of present work was to study the decomposition of diazinon by nano-photocatalytic ZnO-TiO₂ in the presence of UVC radiation.

Materials and Methods: This work is a laboratory-experimental study. Characterization of nanoparticles was determined through TEM pattern. The number of samples was determined by Taguchi statistical method. The samples with definite concentration of diazinon and nanoparticle in different operational conditions were exposed to UVC radiation, individually. Diazinon concentration was measured using HPLC. Data analysis was performed using the software Minitab 16.

Results: The results showed that with increasing reaction time, the removal of diazinon increases but by increasing the dose of nanoparticles and Diazinon concentration the removal rate decreases. The highest removal efficiency rate was 95%.

Conclusion: The combination of catalysts is a new method for the removal of diazinon. The results showed that the photocatalytic nano-ZnO-TiO₂ has a positive effect on diazinon degradation.

Keywords: Diazinon, Photocatalysts, ZnO-TiO₂, Composite, Nanoparticle

* Corresponding author. Tel: +98 11 33543085

zazoli49@yahoo.com